

東大工学部 学生会 池田駿介

1. 序論

潮流される土砂の移動には二種類のパターン、即ち転動と跳躍、が存在することが知られてゐる。これは土砂の移動現象をミクロ的にどうし、砂粒の運動を力学的に考察した。

2. 砂粒の働く力

砂粒に働く力を知る上で流れの速度分布はよくことじきなものである。ここではRottaの方法に従い、速度分布を次のように定めた。粘性底層が存在する場合にはその厚さをとると、

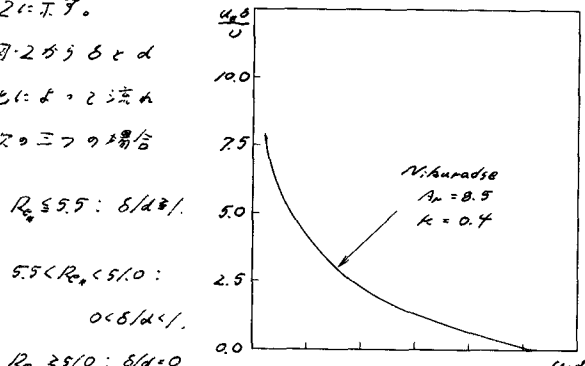
$$Z \stackrel{\text{def}}{=} \delta : \frac{u}{u_*} = \frac{u_*}{u}^2 \quad (1)$$

$$Z > \delta : \frac{u}{u_0} = \frac{1}{\kappa Z} \left(\frac{1}{2} - \sqrt{\frac{1}{Z^2} + \frac{1}{\mu}} \right) + \frac{1}{\kappa} \ln \left(Z + 2\sqrt{\frac{1}{Z^2} + \frac{1}{\mu}} \right) + \frac{u_0 \delta}{v} \quad (2)$$

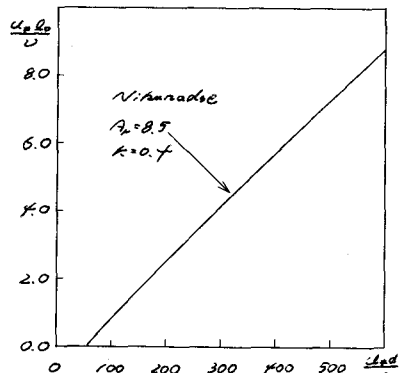
年龄性痴呆有遗传倾向，有家族史者，

$$Z \geq 0 : \frac{u}{u_*} = \frac{1}{k\sqrt{2}} \left(\frac{1}{2} - \sqrt{\frac{z^2 + 1}{\mu}} \right) - \frac{1}{k\sqrt{2_0}} \left(\frac{1}{2} - \sqrt{\frac{z_0^2 + 1}{\mu}} \right) + \frac{1}{k\sqrt{2}} \ln \left[\left(Z + \sqrt{Z^2 + \frac{1}{\mu}} \right) / \left(Z_0 + \sqrt{Z_0^2 + \frac{1}{\mu}} \right) \right] \quad (3)$$

2^次系かされ、 $Z = U_0 u / v$ 、 $Z_0 = U_0 u_0 / v$ 、 u = 流れの速度、 U_0 = Shear velocity、 K = Kármán const.、 ν = 動粘性係数、 L = 混合長、 U_0 = 砂粒自身が発生させた渦乱によって混合長の増加量。 U_0 の値は(3) の右辺と Z 大きく Taylor 展開し、Nikuradse の実験結果と比較して $U_0 U_0 / v$ と $U_0 d / v$ の関係を得た。 $U_0 d / v$ も全く同様に(2) を近似して $U_0 d / v$ と $U_0 d / v$ の関係を得た。結果をまとめると図-1、図-2 のよう。



$$\text{图-1} \quad \frac{a+s}{a+d} + \frac{a+d}{a+s} \geq 2$$



$$187 \frac{u_{\text{ad}}}{u_{\text{lo}}} < \frac{u_{\text{ad}}}{u_{\text{lo}}} \approx 1.71$$

卷之三

砂粒に働く力としては揚力 C 、浮遊流力 R 、砂粒の重さ W 、河床からの摩擦力 F のみを考慮し、一次元流れの場合につれて取扱った。これらの力は次のようにならざれど、

$$L = \frac{\rho}{g} C_c (\bar{u}_i - u_s)^2 \pi d^2 - \frac{\partial P}{\partial x} (d - \delta) \frac{\pi}{4} d^2 \quad (4)$$

$$O = \frac{\rho}{g} C_o (\bar{u}_i - u_s)^2 \pi d^2 - \frac{\partial P}{\partial x} \delta \beta \frac{\pi}{4} d^2 \quad (5)$$

$$F = \mu \left[(\delta - \rho) \frac{\pi}{6} \delta d^3 - L \right] \quad (6)$$

ここで C_o = 拖力係数, C_c = 阻力係数, \bar{u}_i = 粒子の中心高さにおける流れの平均速度, u_s = 粒子の移動速度, μ = 効率係数, $\frac{\partial P}{\partial x}$, $\frac{\partial P}{\partial z}$ = 流れのせん断応力と圧力勾配, δ , β については図-3, 図-4に示す通りである。

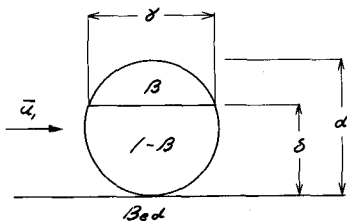


図-3. δ と β のつりあい

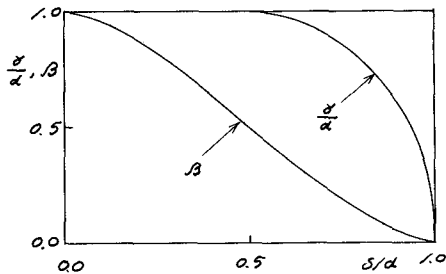


図-4. $\frac{\delta}{d}, \beta$ と $\frac{\sigma}{\alpha}$ の関係

C_o の値としては自由流れの中における球の粘性係数を用いる。一方, C_c の値については図-5に示すようして Chepil の実験値と用いた。これより次のような関係を得る。

$$C_c = 0.85 C_o \quad (7)$$

効率係数 μ については図-6に示す通りである。

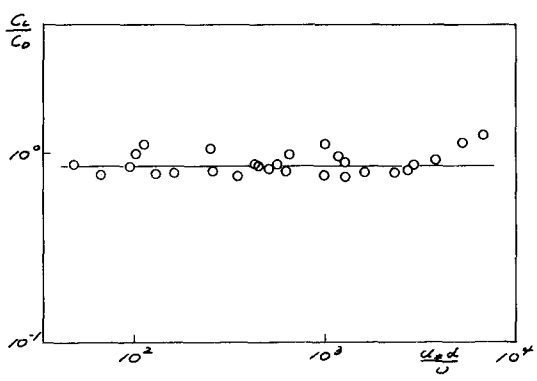


図-5. C_c/C_o と $\frac{U_i d}{\rho}$ の関係

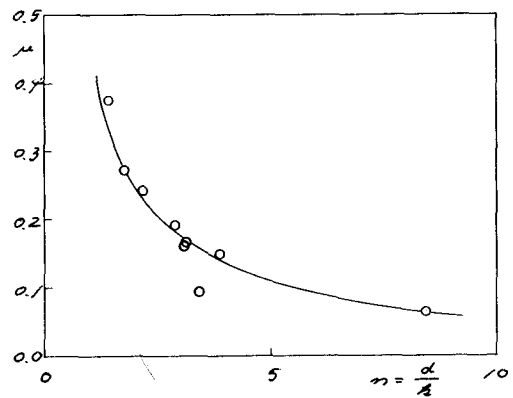


図-6. μ と $\frac{d}{U_i}$ の関係

次に流れはより圧力勾配 $\frac{\partial P}{\partial x}$, $\frac{\partial P}{\partial z}$ の影響を行なう。よって無視すれば $\frac{\partial P}{\partial x}$, $\frac{\partial P}{\partial z}$ は

$$-\frac{\partial P}{\partial x} = \rho \frac{\partial u'}{\partial x} \quad (8)$$

$$-\frac{\partial P}{\partial z} = \rho \frac{\partial w'}{\partial z} \quad (9)$$

流速の変動 U , u' , w' の $\frac{\partial U}{\partial x}$, $\frac{\partial u'}{\partial x}$, $\frac{\partial w'}{\partial x}$, $\frac{\partial U}{\partial z}$, $\frac{\partial u'}{\partial z}$ などは因式平分法を用いた結果,

$$-\frac{1}{\rho} \frac{\partial P}{\partial x} = \sqrt{u'^2} \sqrt{\left(\frac{\partial U}{\partial x}\right)^2} + \sqrt{w'^2} \sqrt{\left(\frac{\partial U}{\partial z}\right)^2} \quad (10)$$

$$-\frac{1}{\rho} \frac{\partial P}{\partial z} = \sqrt{u'^2} \sqrt{\left(\frac{\partial u'}{\partial x}\right)^2} + \sqrt{w'^2} \sqrt{\left(\frac{\partial w'}{\partial z}\right)^2} \quad (11)$$

とある。 $\left(\frac{\partial U}{\partial x}\right)^2$, $\left(\frac{\partial u'}{\partial x}\right)^2$, $\left(\frac{\partial w'}{\partial x}\right)^2$, $\left(\frac{\partial U}{\partial z}\right)^2$ などは等方性乱れの場合についても考慮すれば、 $\left(\frac{\partial U}{\partial x}\right)^2 = \frac{1}{2} \left(\frac{\partial u'}{\partial x}\right)^2 + \frac{1}{2} \left(\frac{\partial w'}{\partial x}\right)^2 = \frac{1}{2} \left(\frac{\partial u'}{\partial x}\right)^2$ である。これは λ_2 が $\frac{1}{2}$ 小さい場合の直線となる。

無次元時間の測定値は図7のとおりである。壁付

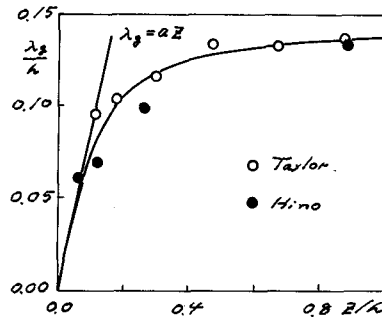
近傍では λ_2 は 2.6×10^{-5} 以下のとみなし、

$$\lambda_2 = \alpha z + \lambda_0 \quad (12)$$

とある。 λ_0 は無次元時間の直線の直面粗度によると

増加するところから $\lambda_0 = \lambda_0(z)$ である。 $\sqrt{u'^2}, \sqrt{w'^2}$ は

この λ_0 が Klebanoff, Corrsin & Kármán の実験値と一致する。



$$\sqrt{u'^2}/u_* = 2.1 - 0.00054 u_* z / v \quad (13)$$

図7. λ_2 の分布

$$\sqrt{w'^2} = \frac{1}{2} \sqrt{u'^2} \quad (14)$$

とある。以上より、L. O. F は u_*^2 の形のようになると思われる。

$$L = \frac{\rho}{8} C_d (\bar{u}_* - u_s)^2 \pi d^2 + \frac{0.957 \rho u_*^2}{\frac{a}{2} (d+\delta) + \lambda_0} [2.1 - 0.00027 \frac{u_* (d+\delta)}{v}]^2 (d-\delta) \frac{\pi}{f} d^2 \quad (15)$$

$$D = \frac{\rho}{8} C_d (\bar{u}_* - u_s)^2 \pi d^2 + \frac{1.707 \rho u_*^2}{\frac{a}{2} (d+\delta) + \lambda_0} [2.1 - 0.00027 \frac{u_* (d+\delta)}{v}]^2 \partial \beta \frac{\pi}{f} d^2 \quad (16)$$

$$F = \mu \left[(\beta_s - \rho) \frac{\pi}{6} g d^3 - L \right] \quad (17)$$

3. 砂粒の運動

流れの摩擦力が限界摩擦力よりも大きくなると砂粒は河床上を運動し始め、これが運動を表す基礎方程式は

$$\frac{du_s}{dt} = -F / \frac{\pi}{6} \rho d^3 \left(\frac{\rho_s}{\rho} + \frac{1}{2} \right) + D / \frac{\pi}{6} \rho d^3 \left(\frac{\rho_s}{\rho} + \frac{1}{2} \right) \quad (18)$$

これより、 F, D の値と (15), (16), (17) を表わす式と用いて、(18) を初期条件 $t=0$ で $u_s=0$ として解き、この際に定常状態の解を得る。ただし $z=\infty$ における解は次のようになる。

$$\frac{u_s}{u_*} = \frac{u_*}{u_s} - \frac{1}{u_*} \sqrt{\frac{F}{\mu}} \quad (19)$$

$$f = \mu(\beta/\rho - 1)g - \frac{3}{2} [0.957\mu(1-\frac{\delta}{d})(\frac{\delta}{d})^2 + 1.207\frac{\delta}{d}\beta] \cdot [2.1 - 0.00027 \frac{u_*(d+\delta)}{v}]^2 \frac{u_*^2}{\frac{a}{2}(d+\delta)+\lambda_0} / (\beta/\rho + \frac{1}{2})$$

$$\lambda = \frac{3}{\rho} (\mu C_c + C_o) / (\beta/\rho + \frac{1}{2}) d$$

(19) の右边の値は $\mu(\beta/\rho - 1)gd/u_*^2$ を除きすべて Re_* の関数である。従って λ も $\mu(\beta/\rho - 1)gd/u_*^2$ と Re_* が与えられると u_*/u_* を計算できる。この計算値と実測値の比較を図-8, 図-9 に示す。

この中で実験は(19)

式中のELAの効果E

を考えた場合の値と

西矢の場合の方

が実測値によく一致

を示していき。

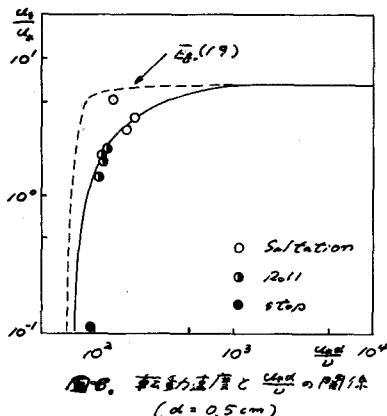


図-8. 剪断応力/剛性と $\frac{u_*}{u_*}$ の関係

$$(d = 0.5 \text{ cm})$$

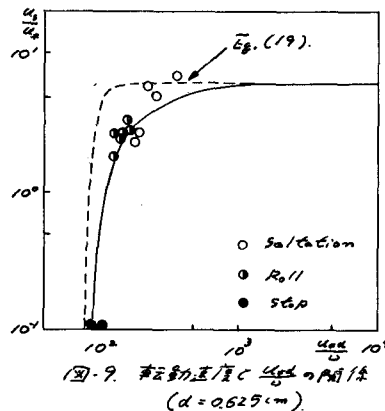


図-9. 剪断応力/剛性と $\frac{u_*}{u_*}$ の関係

$$(d = 0.625 \text{ cm})$$

4. 剪断応力と剛性の関係について。

揚力が砂の重さ W に打ち切つ場合、 Re_* が L/W よりも大きい場合は考慮される。このとき Re_* に対する速度分布式(1), (2), (3)を用いて整理すれば次のような無次元表示ができる。

$$\frac{u_*^2}{(\beta/\rho - 1)gd} = \frac{1}{P}$$

(20).

$$Re_* \leq 5.5 : P = \frac{3}{16} C_c (u_* d/v)^2$$

$$5.5 < Re_* \leq 8.8 : P = \frac{3}{16} C_c (u_* d/v)^2 + \frac{1.436(1-\delta/d)}{\frac{9}{2}(1+\delta/d)+\frac{\lambda_0}{d}} [2.1 - 0.00027 \frac{u_*(d+\delta)}{v}]^2 \left(\frac{\delta}{d} \right)^2$$

$$8.8 < Re_* \leq 51.0 : P = \frac{3}{4} C_c \left\{ \frac{1}{k_{\infty}} \left[\frac{1}{2} - \sqrt{\frac{1}{2} + \frac{1}{k_{\infty}}} \right] + \frac{1}{k_{\infty}} \ln \left[2 + 2\sqrt{\frac{1}{2} + \frac{1}{k_{\infty}}} \right] + \frac{u_* \delta}{v} \right\}^2 + \frac{1.436(1-\delta/d)}{\frac{9}{2}(1+\delta/d)+\frac{\lambda_0}{d}} (2.1 - 0.00027 Re_*)^2$$

$Re_* > 51.0 :$

$$P = \frac{3}{4} C_c \left\{ \frac{1}{k_{\infty}} \left[\frac{1}{2} - \sqrt{\frac{1}{2} + \frac{1}{k_{\infty}}} \right] - \frac{1}{k_{\infty}} \left[\frac{1}{2} + \sqrt{\frac{1}{2} + \frac{1}{k_{\infty}}} \right] + \frac{1}{k_{\infty}} \ln \left[\left(2 + \sqrt{\frac{1}{2} + \frac{1}{k_{\infty}}} \right) / \left(2 - \sqrt{\frac{1}{2} + \frac{1}{k_{\infty}}} \right) \right] \right\}^2 + \frac{1.436}{\frac{9}{2} + \frac{\lambda_0}{d}} (2.1 - 0.00027 Re_*)^2$$

理論値と実験値との比較を図-10 に示す。

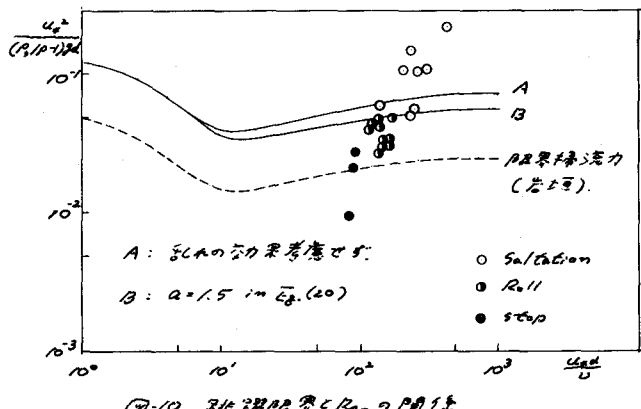


図-10. 理論値と実験値との比較